•腹部影像学 •

CT 肠道成像定量评分系统在回结肠克罗恩病活动性评估中的应用价值

吴慧,程静云,王艳,冷小园,陈敏,黄梅芳,吴光耀,徐国斌

【摘要】 目的:探讨 CT 肠道成像(CTE)在回结肠克罗恩病(CD)活动性评估中的应用价值。方 法:搜集我院经内镜、病理及临床随访确诊的 CD 患者共 110 例。110 例患者均行常规结肠镜及 CTE 标 准化检查,两种检查时间间隔小于1周。CTE检查主要评价病变部位、肠壁厚度、肠黏膜 ΔCT值(门静 脉期黏膜 CT 值-增强前黏膜 CT 值)、病变肠段周围最大淋巴结短径,有无肠壁分层强化、肠腔狭窄、肠 系膜血管增粗(梳征)及肠系膜纤维脂肪增生。结肠镜检查根据克罗恩病简化内镜活动性评分(SES-CD)将 CD 患者分为非活动组、轻微活动组和中重度活动组。结果:110 例 CD 患者共评估 298 个病变 肠段,其中非活动组80个,轻微活动组142个,中重度活动组76个。单因素分析结果表明,各组间的肠 壁厚度、△CT值、淋巴结短径、肠壁分层强化及肠腔狭窄的差异均有统计学意义(P值均<0.05);而各 组间的肠系膜血管增粗、肠系膜纤维脂肪增生的差异均无统计学意义(P>0.05)。相关性分析结果显 示,肠壁厚度、 $\Delta$ CT值、肠壁分层强化与 SES-CD 均呈中度相关,r值分别为 0.535、0.787、0.676 (P值 均<0.01);肠腔狭窄与 SES-CD 呈轻度相关,r值为 0.480(P<0.01)。通过多分类有序 logistic 回归模 型初步计算出一个 CTE 定量评分系统:简化 CTE 评分=0.2 imes肠壁厚度 $+0.3 imes \Delta$ CT 值+1.5 imes肠壁 分层强化+2×肠腔狭窄。通过对之后新收集的 30 例(88 个肠段)CD 患者的验证分析表明,该评分系 统与 SES-CD 高度相关(r=0.866,P<0.01)。ROC 曲线分析结果表明,当 CTE 评分为 13.3 时,其在 区分 CD 活动组与非活动组中的灵敏度和特异度分别为 80.3%、95.5%, 曲线下面积(AUC)=0.906; 当 CTE 评分=16.5 时,其在区分 CD 轻微活动组与中重度活动组中的灵敏度和特异度分别为 96.3%、 90.2%,AUC=0.961。结论:CTE 定量评分系统可用于 CD 病变活动性及严重程度的评估。

【关键词】 克罗恩病; CT 肠道成像; 体层摄影术, X 线计算机; 克罗恩病简化内镜活动性评分; CTE 定量评分系统

【中图分类号】R574.5;R814.42 【文献标识码】A 【文章编号】1000-0313(2020)01-0061-07 DOI:10.13609/j.cnki.1000-0313.2020.01.012 开放科学(资源服务)标识码(OSID):

D):

Quantitative CT enterography scoring system in the evaluation of activity of ileocolonic Crohn disease WU Hui, CHENG Jing-yun, WANH Yan, et al. Department of Radiology, Zhongnan Hospital of Wuhan University, Wuhan 430071, China

**[Abstract]** Objective: To explore the application values of CT enterography (CTE) in evaluating the activity of ileocolonic Crohn's disease (CD). Methods: A total of 110 CD patients confirmed by endoscopy, pathology and clinical follow-up in our hospital were enrolled. All patients underwent routine colonoscopy and standardized CTE with the interval less than 1 week. CTE parameters included the lesion site, the bowel-wall thickness, intestinal mucosa ΔCT value (CT value of mucosa in portal vein stage-CT value of mucosa before enhancement), the maximum short diameter of lymph nodes around the intestinal segment of the lesion, mural stratificated enhancement, luminal stenosis, mesenteric hyper-vascularity (manifested as "comb sign") and mesenteric fibro-fatty proliferation. The CD patients were divided into inactive, mild and moderate-severe active groups according to Crohn's disease simplified endoscopic activity score (SES-CD). Results: 298 intestinal segments in 110 CD patients were evaluated, in which 80,142 and 76 were inactive, mild active and moderate-severe active, respectively. Uni-

作者单位:430071 武汉,武汉大学中南医院放射科(吴慧、程静云、王艳、冷小园、吴光耀、徐国斌),消化内科(陈敏,黄梅芳); 518055 广东深圳,深圳大学总医院放射科(吴光耀)

作者简介:吴慧(1994一),女,湖北荆州人,硕士研究生,主要从事腹部影像诊断工作。

通讯作者:吴光耀,E-mail: wuguangy2002@163.com;徐国斌,E-mail:guobinxu@126.com 基金项目:国家重点研发计划(No. 2016YFC1304702),深圳大学基金(No.85706-0000040544)

variate analysis showed that there were significant differences in the bowel-wall thickness,  $\Delta CT$  values, short diameter of lymph nodes, mural stratificated enhancement, and luminal stenosis among the three groups (P < 0.05), while there were no significant differences in mesenteric hyper-vascularity and mesenteric fibro-fatty proliferation among the three groups (P > 0.05). The correlation analysis showed that bowel-wall thickness,  $\Delta$ CT values, and mural stratificated enhancement were moderately correlated with SES-CD(r values were 0.535, 0.787, and 0.676, respectively; P < 0.01); and luminal stenosis was mildly correlated with SES-CD (r value was 0.480; P < 0.01). Through multinomial and ordinal logistic regression model, we initially calculated a quantitative CTE scoring system (simplified CTE score=0.2 \* wall thickness+0.3 \*  $\Delta$ CT values+1.5 \* mural stratificated enhancement+2 \* luminal stenosis). Validation analysis of the newly collected 30 CD patients (88 intestinal segments) showed this CTE scoring system was highly correlated with the SES-CD (r=0.866, P<0.01), ROC curve analysis showed that when the cutoff value of CTE score was 13.3, the sensitivity and specificity in discriminating the active group from inactive group were 80.3% and 95.5%, respectively, and the area under the ROC curve was 0.906; when the cutoff value of CTE score was 16.5, the sensitivity and specificity in discriminating the mild active group from moderate-severe active group were 96.3% and 90. 2 %, respectively, and the area under the ROC curve was 0, 961, Conclusion: This quantitative CTE scoring system could be an effective way to assess the activity and severity of ileocolonic CD lesions.

**(Key words)** Crohn's disease; Computed tomography enterography; Tomography, X-ray computed; Simplified endoscopic activity score for Crohn disease; Quantitative CTE score system

克罗恩病(Crohn's disease, CD)是一种与基因、 环境、免疫及肠道菌群相关的慢性非特异性肉芽肿性 炎症,可累及整个消化道,具有反复发作的特点,其特 征是肠壁节段性受累和透壁性炎症[1]。内窥镜仍是胃 肠道病变的首选检查方法[2],可直接观察胃肠道黏膜 病变,获取病变组织,极大地提高了病变诊断准确率; 但其侵袭性常给患者带来不适,并存在相关并发症的 发生风险,且无法观察肠腔外肠系膜及其淋巴结表现。 CT 肠道成像(computed tomography enterography, CTE)可无创性显示肠腔内外病变,成像速度快,患者 舒适度高,多平面重建(multiplanar reformation, MPR)可多方位显示病灶,是内镜检查和临床评估等 传统方法的有效补充,并且很多研究证实,CTE可用 于CD病变活动性和严重程度评估以及临床疗效评 估[3-5]。然而,目前仍缺乏一个通用的 CTE 定量评分 系统用于评估和预测 CD 活动性及严重程度。本研究 旨在探讨各 CTE 征象与内镜评分的相关性,并试图建 立一个用于评估和预测 CD 活动性及严重程度的 CTE定量评分系统。

# 材料与方法

# 1. 病例资料

搜集 2016 年 3 月 - 2019 年 2 月间在我院行 CTE 检查并经内镜、病理及临床随访确诊的 CD 患者。病例纳入标准:①按照炎症性肠病诊断与治疗专家共识意见<sup>[6]</sup>,经临床、结肠镜、病理及影像综合诊断为 CD;

②进行过常规结肠镜及 CTE 标准化检查,两种检查时间间隔小于 1 周; ③临床、影像及实验室检查资料完整; ④CTE 检查前,患者无肠切除术病史; ⑤肠道充盈及图像质量良好,不影响病变评估者。病例排除标准: ①CTE 检查发现合并肠道其他病变(如恶性肿瘤、严重肠瘘、腹腔脓肿等)者; ②病变局限在末端回肠以上者。

本研究共纳入 110 例 CD 患者,其中男 82 例,女 28 例,年龄  $16\sim62$  岁,平均 $(32\pm12)$ 岁;病程  $1\sim60$  个月,中位病程 11 个月。另外,本研究新搜集了 2019 年 2 月~5 月间在我院行 CTE 检查并符合以上全部标准的 CD 患者 30 例(88 个肠段),用于对建立的定量评分系统进行验证。

# 2. CTE 检查方法

检查前 1 天中、晚餐流质或半流质饮食,晚上冲服聚乙二醇电解质散剂 120~180 g 清洁肠道;检查前70~80 min 间断口服 2.5%等渗甘露醇溶液 1500~2000 mL(以患者体格及舒适度为限),分 5~6 次等量服用,每次间隔约 10 min,扫描前追服 300 mL 以充盈胃腔和空肠上段;扫描前 10 min 肌肉注射盐酸山莨菪碱 10 mg 抑制肠道蠕动,有青光眼、前列腺增生等禁忌证者除外。

CT 检查采用德国 Siemens Definition 64 层双源 CT 扫描仪。扫描前训练患者呼吸,吸气末屏气扫描。扫描范围从膈顶至耻骨联合下缘。扫描参数:管电压 120 kV,管电流 160~240 mAs,层厚 5 mm。平扫结束

后,采用高压注射器以 2.5 mL/s 流率一次性团注对比剂碘海醇(碘浓度 350 mg/mL),剂量 1.5 mL/kg,注射对比剂后  $20\sim30 \text{ s}$ 、 $60\sim65 \text{ s}$  分别行动脉期和静脉期增强扫描。常规扫描后在德国 Siemens 后处理工作站 (Syngo CTWorkplace, VA44A)行 1 mm 薄层重建以及 MRR 处理。

# 3. CTE 图像评估

由 2 位具有副主任医师以上职称,从事腹部影像 诊断的放射科医师独立评估图像,采用双盲法对图像 进行分析,评价 2 位医师间测量结果的一致性,各 CTE 指标取 2 人的平均值进行后续分析,评估过程中意见不一致时经讨论达成一致意见。观察记录的内容包括病变部位、肠壁厚度、有无肠壁分层强化(门静脉期)、ΔCT 值(ΔCT 值=门静脉期黏膜 CT 值一增强前黏膜 CT 值)、有无肠腔狭窄、有无肠系膜血管增粗(梳征)及肠系膜纤维脂肪增生、病变肠段周围最大淋巴结短径。

病变部位:为了便于比较每个肠段的 CTE 和内镜 评估结果,笔者将病变肠段分为五段(末端回肠、升结 肠、横结肠、降结肠及乙状结肠、直肠);同时为了评估 各段中CD病变的严重程度,在每个肠段中选取病变 最严重处进行评估。肠壁厚度:选取病变肠段充盈较 好的部分,在横轴位上同时测量该肠段内径和外径,肠 壁厚度=(外径-内径)/2。肠壁强化方式:A 型肠壁 呈多层状(3层或3层以上);B型肠壁呈双层状,由明 显强化的黏膜层及低密度的黏膜下层组成;C型肠壁 呈双层状,但无黏膜层明显强化;D型肠壁均匀强化, 无分层[7]。在评估时,将 A、B 两型归为分层强化,计 1 分;而 C、D 两型归为无分层强化, 计 0 分;评估强化方 式时以门静脉期图像为参照。  $\Delta CT$  值的测量: 首先将 每个感兴趣区(ROI)的大小设定为 3~6 mm<sup>2</sup>,采用规 则圆形 ROI,并将 ROI 手动置于肠黏膜区域,测出其 CT 值;同时在其邻近肠黏膜区域以相同的方法勾画 两个 ROI 并记录其 CT 值,最后计算 3 个 CT 值的平 均值,即为最终的肠黏膜 CT 值[8]。本研究采用门静 脉期图像来测量肠壁强化程度是基于 Wold 等[9]的研 究结果。由于肠黏膜厚度有限,测量相对比较困难,因 此测量时应将图像尽可能放大。肠腔狭窄的评估:为 了最大限度地减少假阳性结果,本研究将肠腔狭窄定 义为 CTE 图像上表现为肠腔缩小(内径<1.0 cm),并 且伴有明确的近端肠管扩张(为邻近正常肠管的 1.5 倍)[10],同时结合 CT 多期扫描图像来区分器质性狭 窄(即固定狭窄)和肠收缩所致的一过性狭窄。肠系膜 纤维脂肪增生的评估:主要通过测量肠系膜脂肪的密 度,若肠壁与肠系膜界面变模糊,且病变肠段周围肠系 膜脂肪密度较正常肠段周围肠系膜脂肪密度增高

20 HU以上,则认为病变肠段周围肠系膜脂肪增生<sup>[11]</sup>。病变肠段周围肠系膜淋巴结的测量:本研究将病变肠段周围淋巴结定义为其周围 5cm 范围内最大的淋巴结,并测量其短径。遇到淋巴结同时属于两个肠段周围,测量其与病变肠段的直线距离,并将其归属于距离较近的肠段。

## 4. 结肠镜检查及评估方法

由一位有经验的肠镜医师采用单气囊电子结肠镜 (日本 SIF-Q260 Olympus)进行结肠镜检查。常规清洁肠道后,静脉注射丙泊酚  $1.5\sim2.0~\text{mg/kg}$  诱导麻醉, $6.0\sim8.0~\text{mg/kg}$  · h 维持麻醉,经肛进镜至回盲瓣约 150~cm 行结肠镜检查。

根据克罗恩病简化内镜活动性评分(simplified endoscopic activity score for Crohn disease, SES-CD)  $^{[2]}$  对病变肠段进行评估,评估内容包括:溃疡大小 $(0\sim3\ f)$ 、溃疡面积 $(0\sim3\ f)$ 、病变累及范围 $(0\sim3\ f)$ 及肠段狭窄 $(0\sim3\ f)$ 。病变肠段分为f 段(末端回肠、升结肠、横结肠、降结肠及乙状结肠、直肠),每个肠段评分的可能值在f 0~12 分之间。根据评估结果将CD患者分为非活动组f (0~2 分)、轻微活动组f (3~6 分)及中重度活动组f (f ),其中轻微活动组和中重度活动组均为活动组。

### 5. 统计学处理

采用 SPSS 25.0 软件进行统计分析。对于连续变 量,服从正态分布者以 $\overline{x}\pm s$ 表示,不服从正态分布者 以中位数(范围)表示;计数资料以频数(百分比)表示; 对于连续变量的组间比较,若数据服从正态分布采用 单因素方差分析,若数据不服从正态分布则采用 Kruskal-Wallis 秩和检验;分类变量的组间比较采用 行×列表卡方检验。采用 Pearson(正态分布数据)或 Spearman(偏态分布数据)评价 CTE 指标与结肠镜评 分的相关性;通过多分类有序 logistic 回归分析计算 出 CTE 定量评分系统,并通过受试者工作特征(receiver operating characteristic, ROC) 曲线评估 ΔCT 值及 CTE 定量评分系统在 CD 病变活动性预测中的 准确性。采用组内相关系数(intra-class correlation coefficient, ICC)评价两位放射科医师对肠壁厚度、 ΔCT 值及淋巴结短径测量的一致性;通过 kappa 统计 量比较两者对肠壁分层强化、肠腔狭窄评估的一致性。 以 P < 0.05 为差异有统计学意义。

#### 结果

### 1. 患者基线特征

110 例 CD 患者纳入本研究,其中男 82 例,女 28 例,年龄中位数为 28 岁( $16\sim62$  岁),病程  $1\sim60$  个月,中位数为 11 个月。共评估 298 个病变肠段,其中

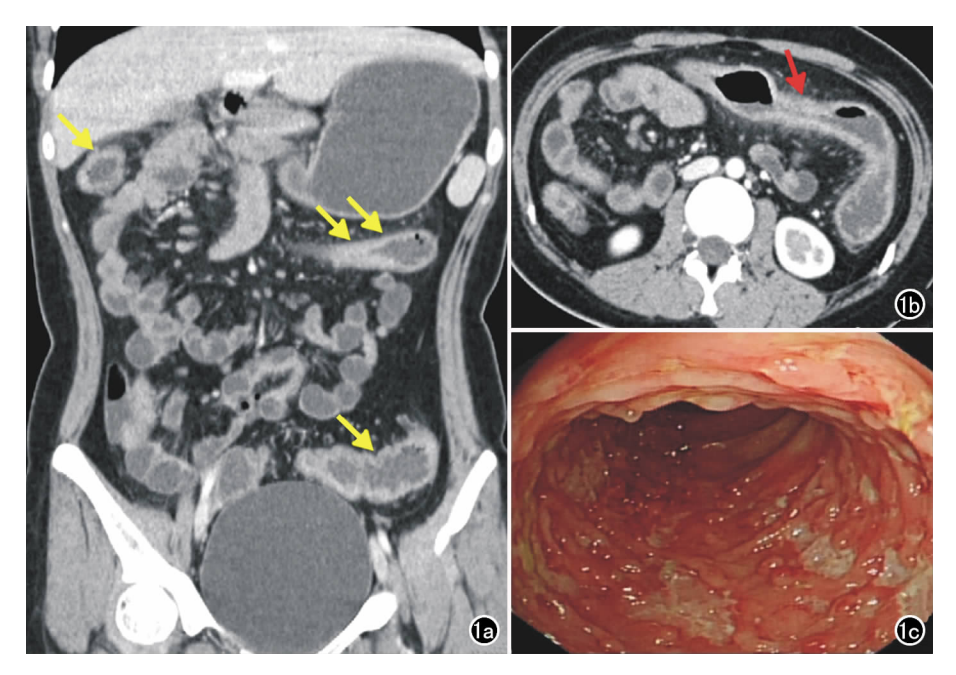


图 1 中重度活动期 CD 患者,女,22岁,右半结肠、横结肠及左半结肠的 SES-CD 均为 8分。a)增强扫描门静脉期图像示右半结肠、横结肠及左半结肠肠壁增厚(箭);b)横轴面图像示横结肠肠腔狭窄(箭);c)结肠镜示横结肠黏膜充血水肿,结肠袋不典型,血管网欠清,可见多发不规则纵行溃疡及铺路石样改变。

非活动组 80 个,轻微活动性组 142 个,中重度活动组 76 个。SES-CD 为  $0 \sim 11$  分,中位数为 4 分;ESR(红细胞沉降率)为 4.  $0 \sim 140$ . 0 mm/1 h,中位数为 22.5 mm/1 h; CRP(C-反应蛋白)为 1. 4  $\sim$  134.8 mg/L,中位数为 22.2 mg/L。

2位医师对 CTE 指标测量及评估的一致性均较好,肠壁厚度、ΔCT 值、淋巴结短径对应的 ICC 分别为0.83、0.80、0.85(*P* 值均<0.01);肠壁分层强化、肠腔狭窄、肠系膜血管增粗(梳征)、肠系膜纤维脂肪增生对应的 kappa 值分别为 0.88、0.90、0.89、0.81(*P* 值均<0.01)。

### 2. CD 患者的 CTE 表现

通过单因素分析发现,各组间的肠壁厚度(图 1~3)、ΔCT值、淋巴结短径、肠壁分层强化(图 2a)及肠腔

狭窄(图 1b)的差异均有统计学意义(P值均<0.05),而肠系膜血管增粗(梳征)、肠系膜纤维脂肪增生的各组间差异均无统计学意义(P值>0.05,表 1)。

3. CTE 指标与内镜评分的相 关性分析

相关性分析结果显示,肠壁厚度、 $\Delta$ CT 值、肠壁分层强化与SES-CD 均呈中度相关,肠腔狭窄、淋巴结短径与SES-CD 呈轻度相关(表 2)。通过多分类有序 logistic 回归模型,初步计算出一个CTE 定量评分系统,即CTE 评分=0. 185 × 肠壁厚度 + 0. 311 ×  $\Delta$ CT 值 + 1. 416 × 肠壁分层强化 + 1. 809 × 肠腔狭窄(简化 CET 评分=0. 2 × 肠壁厚度 + 0. 3 ×  $\Delta$ CT 值 + 1. 5 × 肠壁分层强化 + 2 × 肠腔狭窄)(表 3)。

30 例(88 个肠段)CD 患者的 验证分析结果表明,该简化 CTE

表 2 各 CTE 指标(P<0.05)与内镜评分的相关性

CTE 指标	内镜评分	P 值
肠壁厚度	0.535	<0.001 <sup>b</sup>
分层强化	0.676	$<$ 0.001 $^{b}$
肠腔狭窄	0.480	<0.001 <sup>b</sup>
∆CT 值	0.787	<0.001
淋巴结短径	0.276	<0.001 <sup>b</sup>

注:b表示采用 Spearman 相关。

评分系统与 SES-CD 高度相关,r=0. 866 (P<0.001)。ROC 曲线分析结果显示,简化 CTE 评分在评估 CD 活动性与非活动性、区分 CD 轻微活动组与中重度活动组中的价值均优于单一的 CTE 评估指标(表4)。当 CTE 评分=13.3 时,其在区分 CD 活动组与非活动组中的灵敏度和特异度分别为80.3%、

表 1 CD 各组间的 CTE 征象比较

指标	非活动组 (n=80)	轻微活动组 (n=142)	中重度活动组 (n=76)	统计量	P 值
肠壁					
肠壁厚度(mm)	$5(2\sim10)$	$7(2.5 \sim 15)$	$9.5(4.5\sim26)$	64.317	$<$ 0.001 $^{a}$
分层强化(n,%)	6(7.5)	58(40.8)	68(89.5)	107.448	< 0.001
肠腔狭窄(n,%)	6(7.5)	22(15.5)	48(63.2)	77.855	< 0.001
ΔCT 値(HU)	31.7 $\pm$ 4.2	38.0 $\pm$ 5.4	$46.8 \pm 4.1$	196.955	< 0.001
肠系膜					
淋巴结短径(mm)	$5.1(2\sim11)$	$5.7(3\sim11.5)$	$6.8(3.9\sim15)$	21.436	$<$ 0.001 $^{a}$
梳征(n,%)	46(57.5)	93(65.5)	56(73.7)	7.975	0.093
纤维脂肪增殖(n,%)	33(41.3)	69(48.6)	44(57.9)	4.338	0.114

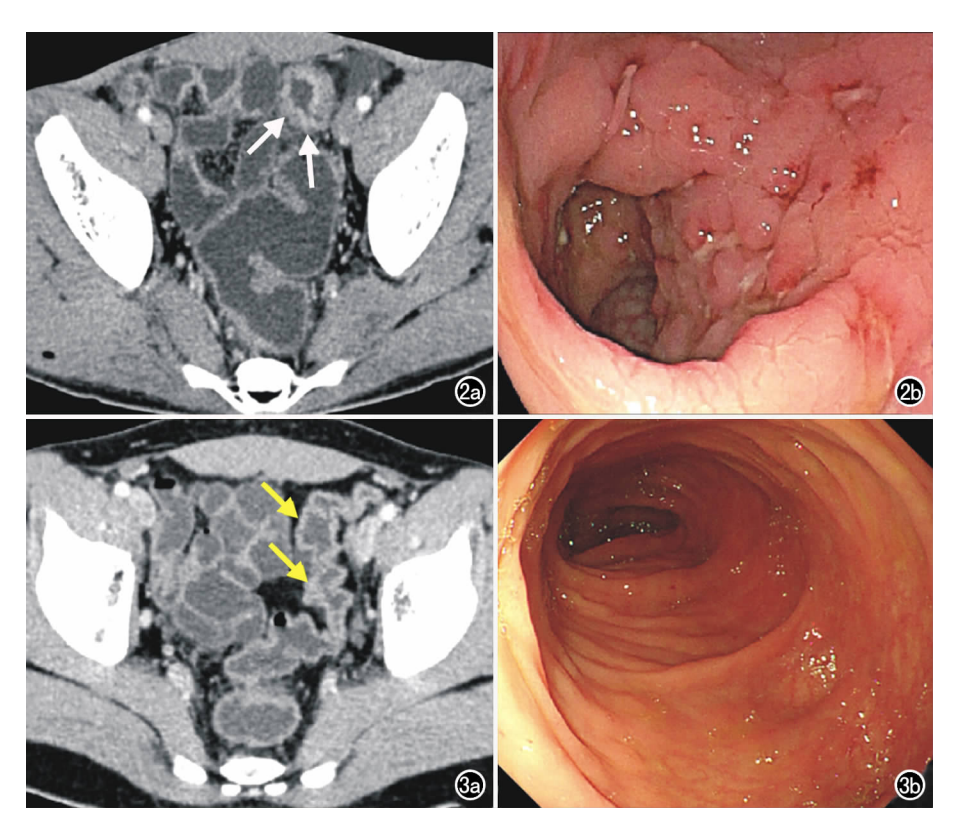


图 2 轻微活动期 CD 患者,男,20 岁,SES-CD 为 5 分。a)增强扫描门静脉期图像示左半结肠肠壁增厚伴明显分层强化(箭);b)结肠镜示多发不规则小溃疡及充血水肿糜烂。 图 3 CD 患者,男,22 岁,SES-CD 为 1 分。a)增强扫描门静脉期图像示乙状结肠肠壁稍增厚(箭);b)内镜示乙状结肠散在分布针尖样糜烂灶。

95.5%,AUC=0.906(图 4);当 CTE 评分=16.5 时, 其在区分 CD 轻微活动组与中重度活动组中的灵敏度和特异度分别为 96.3%、90.2%,AUC=0.961(图 5)。

#### 讨 论

1. CTE 征象在 CD 活动性评估中的价值 本研究结果显示,肠壁厚度、ΔCT 值、肠壁分层强 化与 SES-CD 均呈中度相关,这与 以往研究结果一致[12]。CD 活动 期往往会出现肠壁增厚、分层及黏 膜高度强化,其中肠系膜侧肠壁偏 心性增厚和明显强化是CD的特 征。肠壁分层强化的病理基础为 黏膜、浆膜层的充血和黏膜下的水 肿或脂肪沉积,增强时在 CTE 图 像上黏膜层、浆膜层表现为高密 度,而中间的黏膜下层呈低密度, 即分层强化。对于那些病程太长 和透壁纤维化的患者,肠壁的分层 改变会消失,而且在 CT 扫描时病 变肠壁的密度通常均匀降低。肠 壁分层及明显强化可能表明透壁 纤维化尚未发生,并且被认为与疾 病的临床活动性相关[13,14]。

Bodily 等<sup>[13]</sup> 的研究表明,肠壁高强化与组织学炎症相关,是反映 CD 活动性最敏感的指标。本研究中,ΔCT 值在模型中的作用最为显著,这可能提示 ΔCT 值可作为 CD 活动性评估的独立预测因子。Adler 等<sup>[15]</sup> 的研究表明,CD 的肠腔狭窄既可以是炎性水肿引起,也可以由肠壁纤维化所

致,仅靠 CTE 很难鉴别两者,同时肠腔的明显狭窄经常与肠壁纤维化相关,这可以解释为什么在本研究中肠腔狭窄与 SES-CD 仅呈轻度相关。

CD 是透壁性炎症,肠壁炎症可以延伸到邻近的 周围脂肪及小肠肠系膜组织中。肠壁炎症的渗透会导 致肠周脂肪密度的增加,即肠系膜纤维脂肪增殖,而

表 3							
100	ンノロト	/ \	ogistic	H /-	ハユ	- /4 1/1	71/1

指标	回归系数 (B)	标准误 (SE)	Wald	P 值	OR	CI(95%置信区间)
肠壁厚度	0.185	0.060	9.631	0.002	1.203	1.070~1.353
分层强化	1.416	0.395	12.869	0.000	4.121	$1.900 \sim 8.935$
肠腔狭窄	1.809	0.392	21.313	0.000	6.104	2.832~13.144
$\Delta$ CT 值	0.311	0.036	75.208	0.000	1.365	$1.273 \sim 1.464$
淋巴结短径	0.001	0.076	0.000	0.994	1.001	$0.862 \sim 1.162$

表 4 CTE 多个指标预测 CD 活动性的 ROC 曲线分析结果

指标 -	非活动组与活动组			轻微活动与中重度活动组		
	AUC	P 值	95% CI	AUC	P 值	95 % CI
肠壁厚度	0.739	0.001	$0.623 \sim 0.855$	0.725	0.001	0.611~0.839
分层强化	0.795	0.000	$0.695 \sim 0.896$	0.756	0.000	$0.651 \sim 0.861$
肠腔狭窄	0.674	0.015	$0.561 \sim 0.788$	0.685	0.006	$0.557 \sim 0.814$
ΔCT 值	0.865	0.000	$0.787 \sim 0.943$	0.934	0.000	$0.885 \sim 0.984$
简化 CTE 评分	0.906	0.000	$0.843 \sim 0.969$	0.961	0.000	$0.926 \sim 0.997$

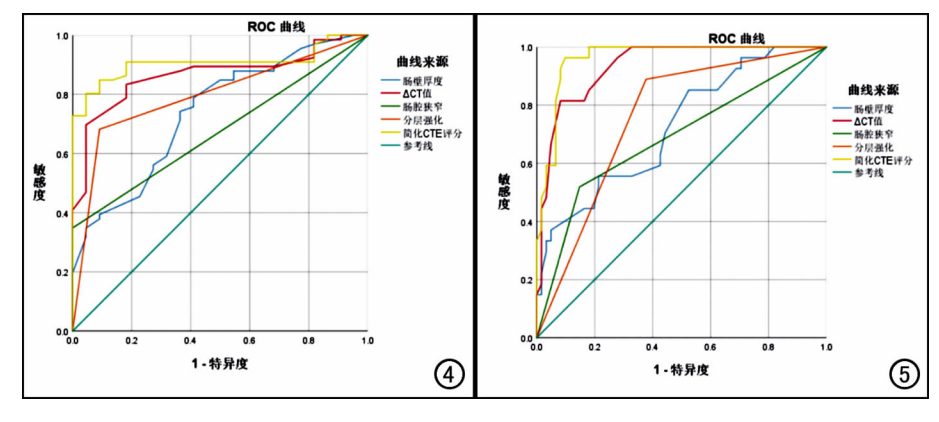


图 4 各 CTE 指标及简化 CTE 评分鉴别 CD 活动组与非活动组的 ROC 曲线图。 图 5 各 CTE 指标及简化 CTE 评分鉴别 CD 轻微活动组与中重度活动组的 ROC 曲线图。

"梳征"是肠系膜炎症所致充血直小血管的一个表现, 它们均与 CRP 升高相关[16,17]。 CT 增强扫描时, 当出 现肠系膜血管增多伴管腔扩张、迂曲和广泛分布的直 小血管时,就产生了"梳征",它归因于病变部位肠系膜 血流及纤维脂肪增殖的增加,所以在 CD 病变中"梳 征"和肠系膜纤维脂肪增殖经常同时存在。相关研究 表明,CD 患者若在 CT 上出现"梳征",表明病变在临 床上处于活动期、进展期[18,19]。本研究结果显示,非 活动组、轻微活动组、中重度活动组出现"梳征"的概率 依次增高,但三组间的差异并无统计学意义。在我们 的评估过程中发现,有44个非活动性肠段出现"梳征" 表现,这可能是由于此处的肠系膜炎症尚未恢复,且其 滞后于肠黏膜炎症的愈合;另外,有64个活动性肠段 的炎症局限于肠黏膜或肠壁,肠周未见"梳征"表现。 类似的情况也见于"肠系膜纤维脂肪增殖",这表明黏 膜炎症与肠系膜炎症并不一致。在此基础上,Colombel 等[17]的研究表明, CRP 仅与肠周炎症(如"梳征"、 肠系膜脂肪密度的增加)显著相关,而与肠黏膜炎症无 相关性,且与黏膜组织活检的炎症无关(r=0.08,P= 0.49)。笔者判断 CD 活动性是以内镜评估为标准,而 内镜只能反映病变肠黏膜的情况,并不能反映肠周的 炎症。仅使用内镜作为参考标准可能会产生假阴性结 果,因为当肠黏膜正常而 CTE 发现肠壁及肠系膜存在 炎症时,若以内镜为标准,它将被归为假阳性[5]。这也 许可以解释为什么本研究未发现三组在"梳征"及"肠 系膜纤维脂肪增殖"上的差异。

2. CTE 定量评分系统在 CD 活动性预测中的潜在价值

对 CD 病变的准确评估有利于患者管理,临床上主要结合临床症状、内镜检查及各种实验室化验指标综合评估 CD 活动性及严重程度。最常用的症状评分系统有克罗恩病活动指数(Crohn's Disease Activity

Index, CDAI)<sup>[20]</sup>,但其存在一定的主观性,并且临床症状常与肠道炎症水平并不相关,而实验室检查(如 CRP 或其他标志物的血清水平)也不是评估 CD 严重程度的充分指标<sup>[21]</sup>;内镜检查是目前公认的评估 CD 病变的金标准,相应的评分系统如简化的克罗恩病内镜下活动性评分(SES-CD)<sup>[2]</sup>已经得到广泛认可,但内镜是一项侵入性检查,患者对其耐受性差,并且存在肠穿孔等风险。因此,各种替代检查方法如 CTE、MRE 等开始出现,与此同时,各种磁共振定量评

分系统也相继出现,其中磁共振活动性指数(magnetic resonance index of activity, MaRIA)的应用最为广泛[22]。

然而,到目前为止大部分 CTE 的研究都只是基于 CTE 的半定量评分,因此本研究第一次尝试使用多分类有序 logistic 回归模型建立了一个 CTE 定量评分系统,并且它与内镜评分高度相关,基于 ROC 曲线分析,CTE 定量评分系统具有预测 CD 活动性及严重程度的潜在能力。本研究结果显示 CTE 定量评分系统能更好地区分轻微活动组与中重度活动组,当 CTE 评分截值点为 16.5 时,敏感度(96.3%)和特异度(90.2%)均很高,这可能是由于随着炎症程度的增加,CTE 征象更容易识别。

## 3. 本研究的局限性

首先,本研究是一项单中心回顾性研究,且CTE 定量评分系统并未对肠腔狭窄和肠壁分层强化进行分 级量化,因此仍需多中心、大样本的研究对此评分系统 进行修正、改进;其次,纳入患者有不同的病程并且可 能接受了不同种类的药物治疗,导致某些CTE征象无 法呈现,从而在一定程度上影响了分析结果;再次,采 用内镜作为金标准会造成一定程度的假阴性情况,在 未来的研究中,若采用内镜下活检病理作为炎症活动 性标准,可让模型具有更高的可靠性;最后,尽管CTE 检查有其独特的优势,但仍有潜在的电离辐射风险,尤 其对于年轻患者,因此不适合患者的长期随访。

综上所述,CTE 定量评分系统为准确评估 CD 病变提供了定量基础,该评分系统有望用于 CD 活动性及严重程度评估,从而指导临床治疗,评估预后。

# 参考文献:

- [1] Baumgart DC, Sandborn WJ. Crohn's disease[J]. Lancet, 2012, 380 (9853):1590-1605.
- [2] Daperno M, D'Haens G, Assche GV, et al. Development and vali-

- dation of a new, simplified endoscopic activity score for Crohn's disease; the SES-CD[J]. Gastrointest Endosc, 2004, 60(4): 505-512.
- [3] 谢辉,程静云,徐国斌,等. 多层螺旋 CT 小肠造影在克罗恩病临床 诊断中的应用研究[J]. 放射学实践,2018,33(3):275-279.
- [4] Deepak P, Fletcher JG, Fidler JL, et al. Radiological response is associated with better long-term outcomes and is a potential treatment target in patients with small bowel Crohn's disease[J]. Am J Gastroenterol, 2016, 111(7):997-1006.
- [5] Fletcher JG, Fidler JL, Bruining DH, et al. New concepts in intestinal imaging for inflammatory bowel diseases[J]. Gastroenterology, 2011, 140(6):1795-1806.
- [6] 吴开春,梁洁,冉志华,等.炎症性肠病诊断与治疗的共识意见 [J].中国实用内科杂志,2018,38(9):26-43.
- [7] Choi D, Lee SJ, Cho YA, et al. Bowel wall thickening in patients with Crohn's disease; CT patterns and correlation with inflammatory activity[J]. Clin Radiol, 2003, 58(1): 68-74.
- [8] Radmard AR, Vaghefi RE, Montazeri SA, et al. Mesenteric lymph nodes in MR enterography: are they reliable followers of bowel in active Crohn's disease? [J]. Eur Radiol, 2018, 28(10):4429-4437.
- [9] Wold PB. Fletcher JG. Johnson CD. et al. Assessment of small bowel Crohn disease; noninvasive peroral CT enterography compared with other imaging methods and endoscopy——feasibility study[J]. Radiology, 2003, 229(1); 275-281.
- [10] Bruining DH. Zimmermann EM, Loftus EV Jr, et al. Consensus recommendations for evaluation, interpretation, and utilization of computed tomography and magnetic resonance enterography in patients with small bowel Crohn's disease[J]. Gastroenterology, 2018, 154(4):1172-1194.
- [11] Hill NS, Disantis DJ. The comb sign[J]. Abdom Imaging, 2015, 40(5):1010.
- [12] 程静云,谢辉,杨昊,等. CT 小肠成像对克罗恩病活动性分级定量评估的价值[J]. 中华放射学杂志,2018,52(8):608-613.
- [13] Bodily KD, Fletcher JG, Solem CA, et al. Crohn disease; mural attenuation and thickness at contrast-enhanced CT Enterography——correlation with endoscopic and histologic findings of in-

- flammation[]]. Radiology, 2006, 238(2): 505-516.
- [14] Gore RM, Balthazar EJ, Ghahremani GG, et al. CT features of ulcerative colitis and Crohn's disease[J]. AJR Am J Roentgenol, 1996,167(1):3-15.
- [15] Adler J, Punglia D, Dillman JR, et al. S1178 CT enterography findings correlate with tissue inflammation but not fibrosis in resected small bowel Crohn's disease[J]. Inflamm Bowel Dis, 2012, 18(5):849-856.
- [16] Park EK, Han NY, Park BJ, et al. Value of computerized tomography enterography in predicting Crohn's disease activity: correlation with Crohn's disease activity index and C-reactive protein [J]. Iran J Radiol, 2016, 13(4): e34301.
- [17] Colombel JF, Solem CA, Sandborn WJ, et al. Quantitative measurement and visual assessment of ileal Crohn's disease activity by computed tomography enterography: correlation with endoscopic severity and C reactive protein [J]. Gut, 2006, 55 (11): 1561-1567.
- [18] Lee SS, Ha HK, Yang SK, et al. CT of prominent pericolic or perienteric vasculature in patients with Crohn's disease; correlation with clinical disease activity and findings on barium studies [J]. AJR Am J Roentgenol, 2002, 179(4):1029-1036.
- [19] Sakurai T, Katsuno T, Saito K, et al. Mesenteric findings of CT enterography are well correlated with the endoscopic severity of Crohn's disease[J]. Eur J Radiol, 2017, 89(2):242-248.
- [20] Best WR, Becktel JM, Singleton JW, et al. Development of a Crohn's disease activity index. National cooperative Crohn's disease study[J]. Gastroenterology, 1976, 70(3):439-444.
- [21] Solem CA, Loftus EV Jr, Tremaine WJ, et al. Correlation of Creactive protein with clinical, endoscopic, histologic, and radiographic activity in inflammatory bowel disease[J]. Inflamm Bowel Dis, 2005, 11(8):707-712.
- [22] Rimola J,Rodriguez S,García-Bosch O,et al. Magnetic resonance for assessment of disease activity and severity in ileocolonic Crohn's disease[J]. Gut,2009,58(8):1113-1120.

(收稿日期:2019-08-07 修回日期:2019-10-19)